



上海大学

SHANGHAI UNIVERSITY

2021-2022 学年

夏季学期课程报告

计算机硬件综合大型作业

广告灯控制器

小组序号: 2-6

项目名称: 广告灯控制器

指导老师: 张云华

组员学号姓名:

21121310 李欣益

21121319 刘彦辰

21121321 黄培远

21121326 梁峻玄

21121331 王家旭

计算机工程与科学学院

报告日期 2023 年 7 月 4 日

目录

1 项目内容 1

2 项目意义 1

3 项目设计 1

3.1 抽象设计和问题规划 1

3.2 芯片原理 2

3.2.1 74LS138 2

3.2.2 74LS161 3

3.2.3 D 触发器 3

3.2.4 74LS373 4

3.3 自制元件 4

3.3.1 4_16_Decoder..... 4

3.3.2 UPDATE_CHECK..... 5

3.3.3 FRAME_LATCH..... 6

3.3.4 Pattern_[7..0] 7

3.3.5 Pattern_[7..0]_Frame_[15..0] 7

3.4 电路设计 7

4 波形模拟 9

4.1 16 帧为周期循环播放 9

4.2 切换显示模式 10

4.3 暂停显示 10

4.4 重置 10

4.5 实机演示 11

5 优化方案 11

5.1 利用三态门代替 LATCH (74LS373)..... 11

5.2 利用存储芯片替代 Frame 元件 11

6 项目小结 12

1 项目内容

设计一个广告灯控制器, 要求如下:

- 1. 利用 6 个数码管 + 16 个灯 (必须有组合).
- 2. 至少 8 中以上模式的显示方式.

2 项目意义

本次实践项目通过设计广告灯控制器, 增加灯闪烁模式的可变形与多样性, 带来更加丰富、吸引人的效果. 不同的动态效果和切换模式可以吸引观众的注意力, 增加观赏的乐趣和参与感, 具有一定的实际意义.

而作为计算机系的学生, 本次硬件大作业提供了一个实践的机会. 通过参与计算机硬件大型项目这一实践环节, 我们对之前的课程进行了全面回顾和审查, 例如数字逻辑与计算机组成原理课程的基本原理、基本概念, 以提升我们对所学理论知识的系统性、联结性和综合性. 这培养了我们独立思考、自主分析和解决问题的能力, 同时提升了我们的硬件设计能力, 并深化了对计算机系统整体的理解, 使我们具备设计完整电路的综合能力. 通过小组成员的协作合作, 我们成功地设计了一个具有实际意义的电路成品, 这将有助于我们更好地胜任结合计算机系统软硬件的应用开发工作.

3 项目设计

3.1 抽象设计和问题规划

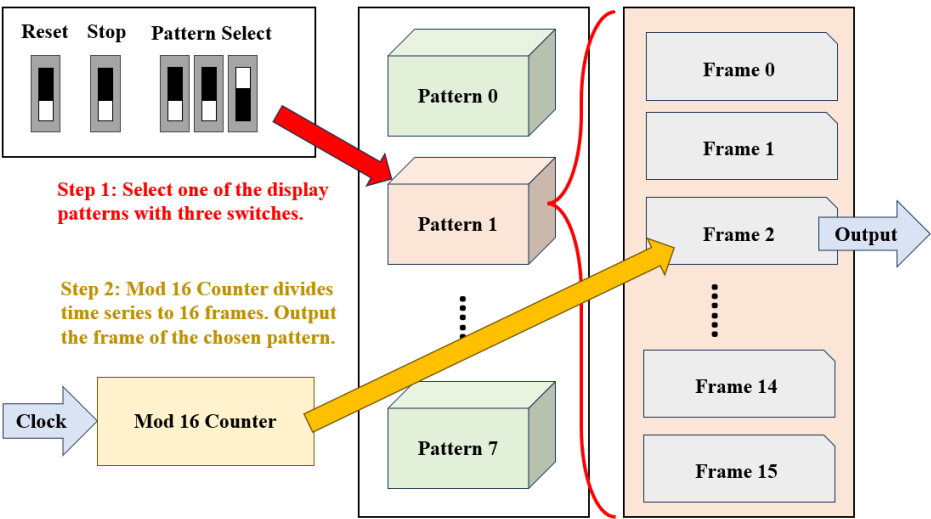


图 3.1.1. 抽象设计图

图 3.1.1 展示了我们项目的抽象设计图. 总体来说, 三个开关用于选择想要的显示模式 (一共有 8 种模式可以选择, 分别为 Pattern 0 .. 7). 同时, 一个模 16 计数器接受时钟信号, 在每个上升沿加一; 因此连续的时间序列被分为了 16 帧 (Frame). 对于唯一被选中的显示模式, 我们按照时间序列的顺序依次输出每一帧数据; 而所有没有被选中的帧应该通过某种方式被排除在输出总线以外, 避免对输出总线的写冲突.

另外, Stop 开关被用于暂停当前输出, 恢复低电平后能够从暂停点继续输出; 而 Reset 开关被用于将某个显示模式的输出帧重置为第一帧 (Frame 0), 恢复低电平后从第一帧开

始输出. 当输出模式被切换, 应该执行 Reset 操作; 也就是新的模式应该总是从第一帧开始输出.

为满足上述设计要求, 我们使用了多组 74 系列芯片以及门电路. 同时, 为了模块化设计需要, 我们定义了若干自己的元件. 因此 3.2 节将介绍我们使用的内置芯片原理, 而 3.3 节将介绍我们的自制元件.

3.2 芯片原理

3.2.1 74LS138

74LS138 为 3 线-8 线译码器, 共有 54LS138 和 74LS138 两种线路结构型式. 54LS138 为军用, 74LS138 为民用.

- 1. 当一个选通端 (E1) 为高电平, 另两个选通端 ((/E2))和(/E3)) 为低电平时, 可将地址端 (A0、A1、A2) 的二进制编码在 Y0 至 Y7 对应的输出端以低电平译出. (即输出为 Y0 至 Y7 的非) 比如: A2A1A0=110 时, 则 Y6 输出端输出低电平信号.
- 2. 利用 E1、E2 和 E3 可级联扩展成 24 线译码器;若外接一个反相器还可级联扩展成 32 线译码器.
- 3. 若将选通端中的一个作为数据输入端时, 74LS138 还可作数据分配器.
- 4. 可用在 8086 的译码电路中, 扩展内存.

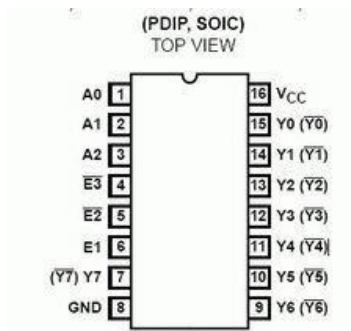


图 3.2.1. 74LS138 引脚图

输入						输出							
G1	/G2A	/G2B	A2	A1	A0	/Y0	/Y1	/Y2	/Y3	/Y4	/Y5	/Y6	/Y7
x	1	x	x	x	x	1	1	1	1	1	1	1	1
x	x	1	x	x	x	1	1	1	1	1	1	1	1
0	x	x	x	x	x	1	1	1	1	1	1	1	1
1	0	0	0	0	0	0	1	1	1	1	1	1	1
1	0	0	0	0	1	1	0	1	1	1	1	1	1
1	0	0	0	1	0	1	1	0	1	1	1	1	1
1	0	0	0	1	1	1	1	1	0	1	1	1	1
1	0	0	1	0	0	1	1	1	1	0	1	1	1
1	0	0	1	0	1	1	1	1	1	1	0	1	1
1	0	0	1	1	0	1	1	1	1	1	1	0	1
1	0	0	1	1	1	1	1	1	1	1	1	1	0

图 3.2.2. 74LS138 真值表

3.2.2 74LS161

74LS161 为二进制同步计数器，具有同步预置数、异步清零以及保持等功能。

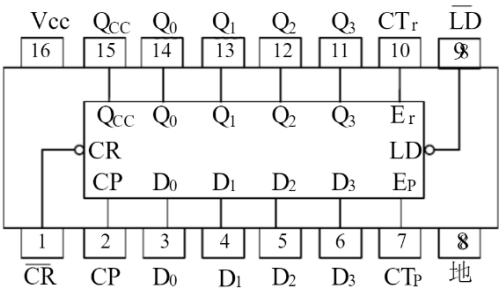


图 3.2.3. 74LS161 引脚图

如果清零端 \overline{CR} ="0"时，计数器输出 Q_3 、 Q_2 、 Q_1 、 Q_0 都会马上为全"0"，这个时候是异步复位功能. 当 \overline{CR} ="1"并且 \overline{LD} ="0"时，CP 信号上升沿作用之后，74LS161 输出端 Q_3 、 Q_2 、 Q_1 、 Q_0 的状态分别与并行数据输入端 D_3 、 D_2 、 D_1 、 D_0 的状态一样，这个时候是同步置数功能. 而只有当 $\overline{CR}=\overline{LD}=\overline{EP}=\overline{ET}$ ="1"、CP 脉冲上升沿作用后，计数器加 1.

74LS161 还有一个进位输出端 CO ，其逻辑关系是 $CO=Q_0 \cdot Q_1 \cdot Q_2 \cdot Q_3 \cdot CET$. 合理应用计数器的清零功能和置数功能，一片 74LS161 可以组成 16 进制以下的任意进制分频器.

输 入									输 出			
\overline{CR}	\overline{LD}	CT_r	CT_p	CP	D_0	D_1	D_2	D_3	Q_0	Q_1	Q_2	Q_3
0	x	x	x	x	x	x	x	x	0	0	0	0
1	0	x	x	↑	d0	d1	d2	d3	d0	d1	d2	d3
1	1	1	1	↑	x	x	x	x	计 数			
1	1	0	x	x	x	x	x	x	保 持			
1	1	x	0	x	x	x	x	x	保 持			

图 3.2.4. 74LS161 真值表

3.2.3 D 触发器

D 触发器是一个具有记忆功能的，具有两个稳定状态的信息存储器件，是构成多种时序电路的最基本逻辑单元，也是数字逻辑电路中一种重要的单元电路.

因此，D 触发器在数字系统和计算机中有着广泛的应用. 触发器具有两个稳定状态，即 0 和 1，在一定的外界信号作用下，可以从一个稳定状态翻转到另一个稳定状态.

D 触发器有集成触发器和门电路组成的触发器. 触发方式有电平触发和边沿触发两种，前者在 CP(时钟脉冲)=1 时即可触发，后者多在 CP 的前沿（正跳变 0→1）触发.

D 触发器的次态取决于触发前 D 端的状态，即次态=D. 因此，它具有置 0、置 1 两种功能.

对于边沿 D 触发器，由于在 CP=1 期间电路具有维持阻塞作用，所以在 CP=1 期间，D 端的数据状态变化，不会影响触发器的输出状态.

D 触发器应用很广，可用做数字信号的寄存，移位寄存，分频和波形发生器等等.

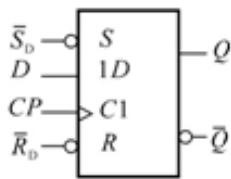


图 3.2.5. D 触发器引脚图

D	CLK	Q	QN
0	时钟上升沿	0	1
1	时钟上升沿	1	0
×	0	last Q	last QN
×	1	last Q	last QN [1]

图 3.2.6. D 触发器真值表

3.2.4 74LS373

74LS373 是三态输出的八 D 锁存器，共有 54S373 和 74LS373 两种线路. 373 的输出端 Q0 ~ Q7 可直接与总线相连.

当锁存允许端 LE 为高电平时，Q 随数据 D 而变. 当 LE 为低电平时，D 被锁存在已建立的数据电平. 当 LE 端施密特触发器的输入滞后作用，使交流和直流噪声抗扰度被改 400mV.

Dn	LE	OE	Qn
H	H	L	H
L	H	L	L
X	L	L	Q0
X	X	H	高阻态

图 3.2.7. 74LS373 真值表

3.3 自制元件

3.3.1 4_16_Decoder

由于我们想要将显示画面分割为 16 帧, 因此需要将 74LS161 输出的 4 位 16 进制数据进行译码. 因此利用了两片 74LS138 芯片组合为了一片 4: 16 译码器.

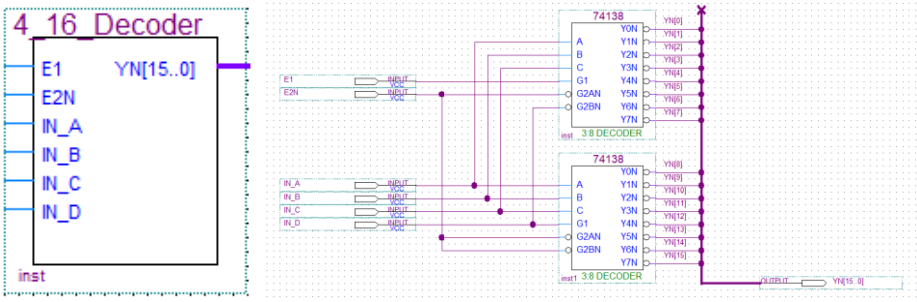


图 3.3.1 4_16_Decoder(左)及原理图(右)

图 2.2.1 展示了 4_16_Decoder 和其原理图. E1 和 E2N 作为使能端, 分别输入高电平和低电平才能使其有效. 输出为 YN[15:0] 总线, 表示解码后的 16 种情况.

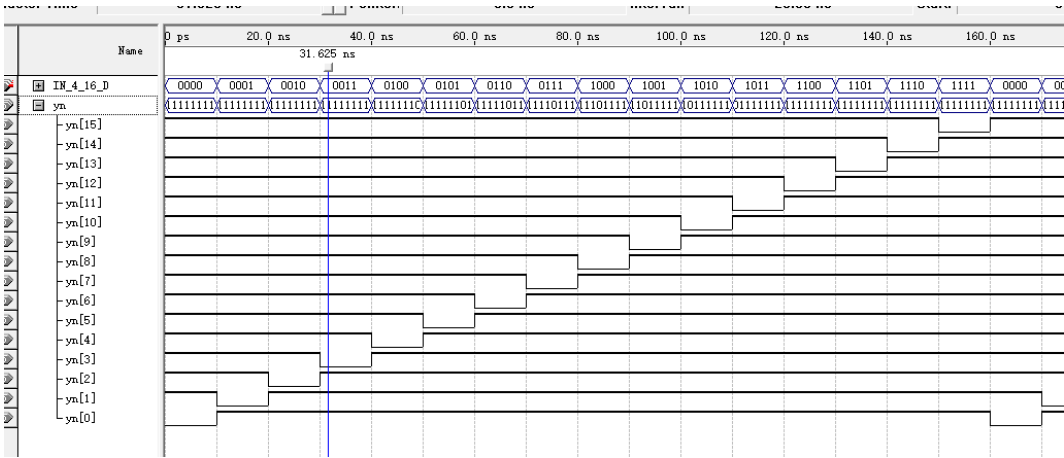


图 3.3.2 4_16_Decoder 的波形图

图 3.3.2 在展示了 4_16_Decoder 的测试波形图, 可以观察到测试结果符合我们的预期.

3.3.2 UPDATE_CHECK

当进行模式切换后, 我们希望立即重置全局帧数为第 0 帧, 因此需要设计一个 UPDATE_CHECK 元件检查模式是否被切换.

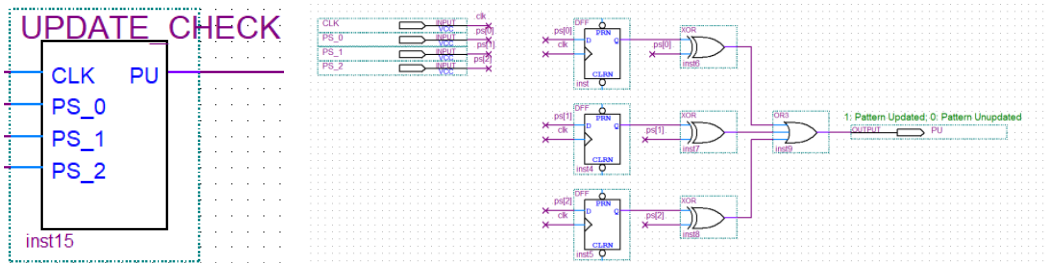


图 3.3.3 UPDATE_CHECK(左)及原理图(右)

图 3.2.3 展示了 UPDATE_CHECK 元件和原理图. 三个输入 PS_[2:0] 表示 Pattern Select (模式选择), 即实验箱上的 3 个开关. 三个开关都与 D 触发器相连, 而且 Q 端会延迟 D 端的输入; 因此将三个 Q 端与原本的 PS 输入 (D 端) 异或后再相或, 得到输出 PU. 如果模式切换了 (即延时输出的 Q 端与当前 D 端不一致), PU 将输出高电平; 否则保持低电平.

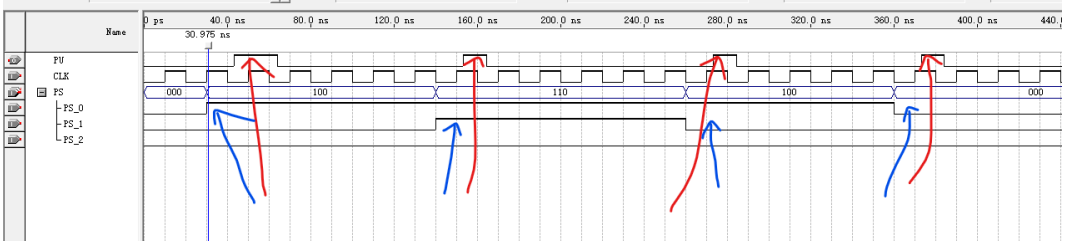


图 3.3.4 UPDATE_CHECK 波形仿真

图 3.3.4 展示了对 UPDATE_CHECK 元件进行的波形仿真. PS (选择的模式) 一共切换了 4 次 (蓝色箭头), 我们也观察到切换后的一小段时间, PU 给出了高电平 (红色箭头), 之后恢复到低电平. 这与我们的预期一致.

3.3.3 FRAME_LATCH

当没有片选到某个模式的某帧时, 该帧仍然接在数据总线中. 为了避免数据总线的写入冲突, 我们设计了一个 FRAME_LATCH 模块. 当某帧没有被选中, FRAME_LATCH 的输出端应该为高阻态, 此时不会与总线中的数据产生冲突.

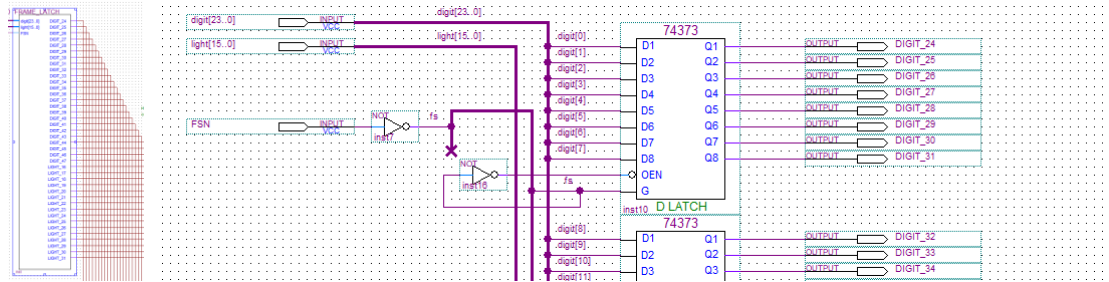


图 3.3.5. FRAME_LATCH(左)及原理图(右)

图 3.3.5 展示了 FRAME_LATCH 的实现细节. 由于要控制 6 个数码管和 16 个灯, 我们利用了 5 组 74LS373 芯片对 40 个输出信号进行锁存; 同时也有 40 个输入信号 (每一帧预设好的信号). FSN 是帧选择信号, 低电平时锁存器开启, 数据写入总线; 高电平时输出端为高阻态.

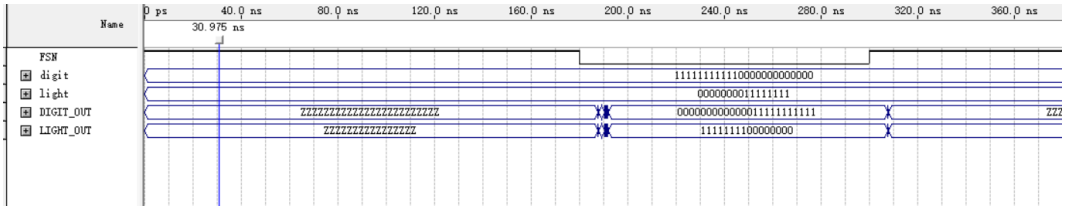


图 3.3.6. FRAME_LATCH 的时序仿真

图 3.3.6 展示了 FRAME_LATCH 的时序仿真. 可以看见, 当 FSN 为高电平, 输出端保持高阻态; 而当 FSN 为低电平, 输出端与预设信号一致. 需要注意的是, LATCH 在时序仿真时会出现毛刺现象.

3.3.4 Pattern_[7..0]

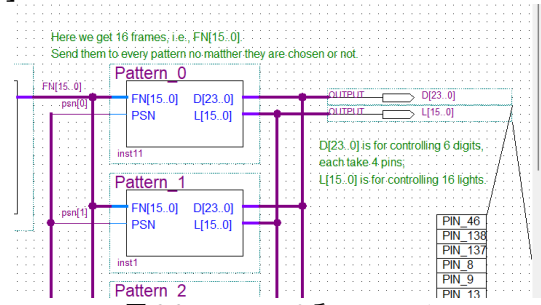


图 3.3.7. Pattern_0 和 Pattern_1

图 3.3.7 展示了 Pattern 元件, 具体设计将在 3.3.2 节展开. 总体来说, Pattern_[7..0] 为 8 种封装好的模式元件, 同时接受 FN[15..0] 的信号进行帧选择; 而 Pattern 元件本身还要经过更上层的 PSN 信号进行片选. 当 PSN 为低电平, Pattern 元件内部会根据帧选择信号 (FN[15..0]) 输出对应帧的信息, 而没被选中的帧处于高阻态; 当 PSN 为高电平, 整个 Pattern 元件的输出会直接处于高阻态.

3.3.5 Pattern_[7..0]_Frame_[15..0]

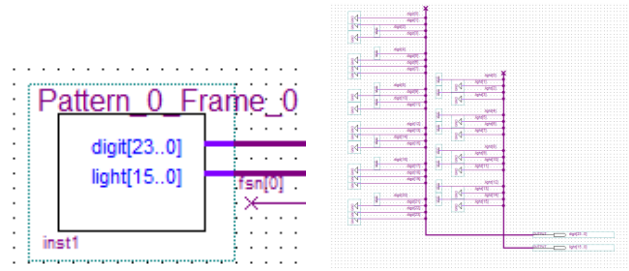


图 3.3.8. Pattern_0_Frame_0(左)及原理图(右)

在我们设计的帧元件中, 每帧统一使用一样的输出模式, 只需要更改引脚的高低电平. 这样开发的好处在于, 每位组员可以方便地实现自己的创意.

为了避免写冲突, 每帧后面需要接上 3.3.3 节设计的 FRAME_LATCH; 这样当一帧没有被选中, 在总线中的表现出高阻态, 不会影响其他帧的输出.

3.4 电路设计

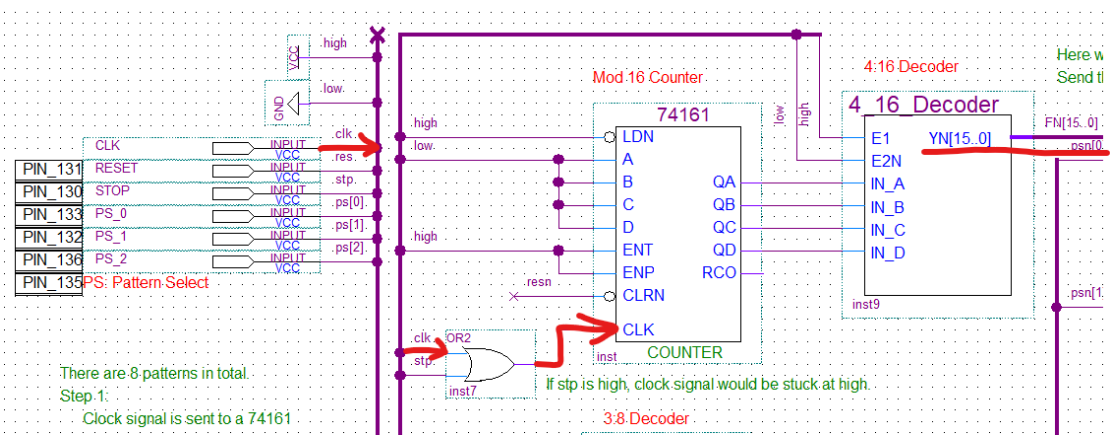


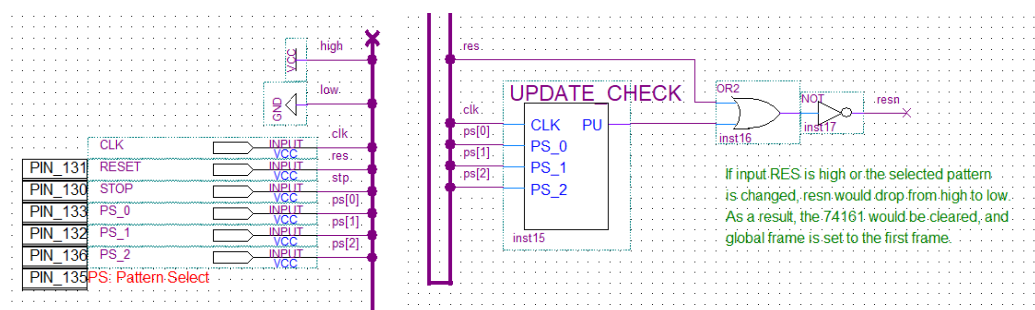
图 3.4.1. 时序信号译码为帧选信号

图 3.4.1 展示了如何对时序信号进行译码, 最终得到帧选信号. 时序信号 `clk` 传入总线中, 与 `stp` 相或后传入 74LS161 的 `CLK` 端. 根据 `STOP` 开关的高低电平, 分为以下两种情况:

1. `STOP` 开, 即 `stp` 为高电平, 则 `CLK` 输入始终为高电平, 74LS161 处于暂停状态, 输出端数据不会变化.
2. `STOP` 关, 即 `stp` 为低电平, 则 `CLK` 输入为正常的 `CLK` 时序信号. 此时 `clk` 的每个上升沿, 74LS161 的输出会加 1; 直到结果为 16, 此时输出端归零 (即模 16).

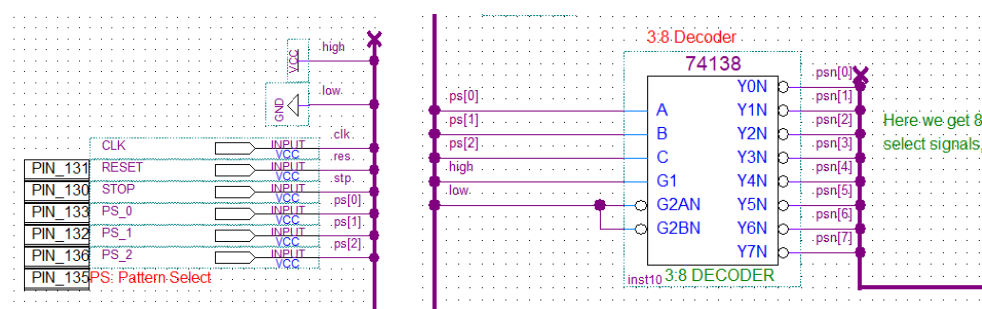
如果 `stp` 为低电平, 输入的时序信号由 74LS161 累加, 再经过 4_16_Decoder 解码, 最终 `YN[15..0]` 端得到 16 位译码后的输出.

74LS161 的 `CLRn` 端还接入了 `resn` 信号; 当 `resn` 为低电平, 74LS161 的数据会清零 (从零开始计数). `resn` 的逻辑由图 3.4.2 展示.

图 3.4.2. 输入(左), `resn` 的逻辑(右)

当 `RESET` 输入为高电平, `resn` 直接置为低电平. 此时根据图 3.4.1, 74LS161 的计数清零. 也就是某种模式的帧输出会置为第一帧 (Frame 0); 直到 `RESET` 输入低电平, 开始从第一帧按照时序信号一帧帧向后输出.

此外, 模式选择的三个开关 `PS_[2..0]` 也被接入 `UPDATE_CHECK` 元件. 根据 3.3.2 节, 当开关信号发生变化 (也就是显示模式改变), `resn` 也会被置为低电平; 此时新的模式将从第一帧开始输出.

图 3.4.3. 输入(左), 对 `ps[2..0]` 译码得到 `psn[7..0]` (右)

从图 3.4.3 中可以看到, 我们对 `PS_[2..0]` 的输入信号输入 74LS138 进行译码, 最终得到 8 位模式选择信号 `psn[7..0]`.

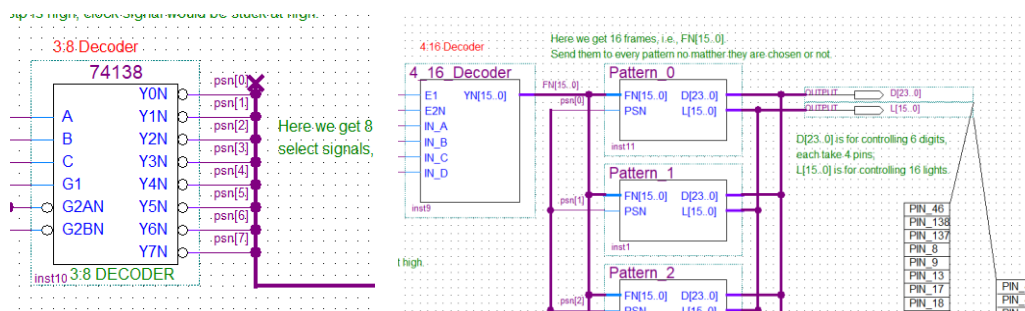


图 3.4.4. 译码后的 8 位模式选择信号 psn[7..0] (左) 和 16 位帧选择信号 FN[15..0] 分别传入各个 Pattern

图 3.4.4 展示了模式选择信号 (psn) 和帧选择信号 (FN) 如何传入各个 Pattern. 帧选择信号会统一传入所有 Pattern, 而 psn 的每位会传入对应的 Pattern. 当某位 psn 为低电平, 其对应的 Pattern 就会被选中; 此时该 Pattern 会根据 FN 来输出对应的帧.

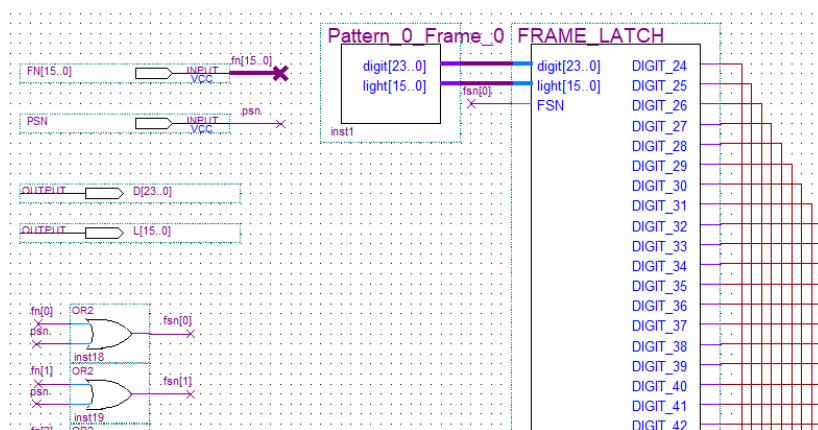


图 3.4.5. Pattern 0 内部的部分展示

图 3.4.5 展示了 Pattern_0 内部的部分设计. 每个 Pattern 内部设有 16 个可更改的 Frame 元件, 并且每个 Frame 元件后接有一个 FRAME_LATCH 作为输出锁存, 具体原理可以参考 3.3.3 节和 3.3.5 节.

输入的 FN 信号与模式选择信号 psn 或操作后传入对应帧的 FRAME_LATCH; 只有模式被选中 (psn 为低电平) 且帧被选中 (fsn 的某位为低电平), FRAME_LATCH 的右端才会允许输出, 将 FRAME 元件的预设值打入总线; 否则 FRAME_LATCH 的输出端将为高阻态, 不影响总线上的已有数据.

4 波形模拟

4.1 16 帧为周期循环播放

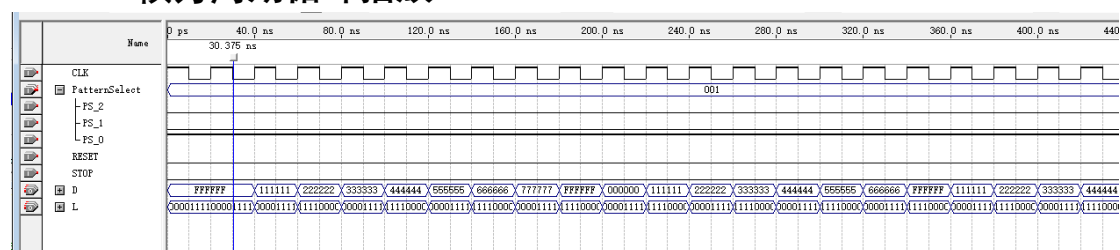


图 4.1.1. Pattern 1 的波形模拟

从图 4.1.1 中可以看到, 在 RESET 和 STOP 都为低电平, 且没有切换显示模式的情况下, Pattern_1 的输出以 16 帧为周期循环播放。

4.2 切换显示模式

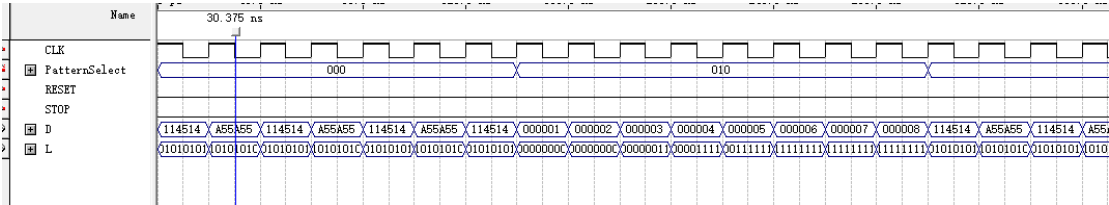


图 4.2.1. 初始模式 000, 切换到模式 010, 再切换回 000

图 4.2.1 展示了切换模式情况下的波形的模拟. 可以看到, 当模式从 Pattern_0 切换为 Pattern_2 后, 输出如期从 Pattern_2 的第一帧 (Frame 0) 开始; 从 Pattern_2 切换回 Pattern_0 时也同样从 Pattern_0 第一帧开始播放。

4.3 暂停显示

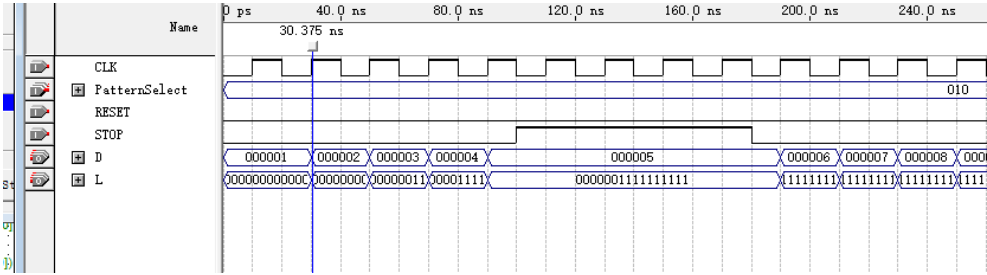


图 4.3.1. Pattern_2 在第 5 帧 STOP 置高电平

图 4.3.1 展示了当 STOP 置为高电平出现的情况. 可以看见, 输出维持在第 5 帧, 当 STOP 拨回低电平后, 继续从第 6 帧开始输出。

4.4 重置

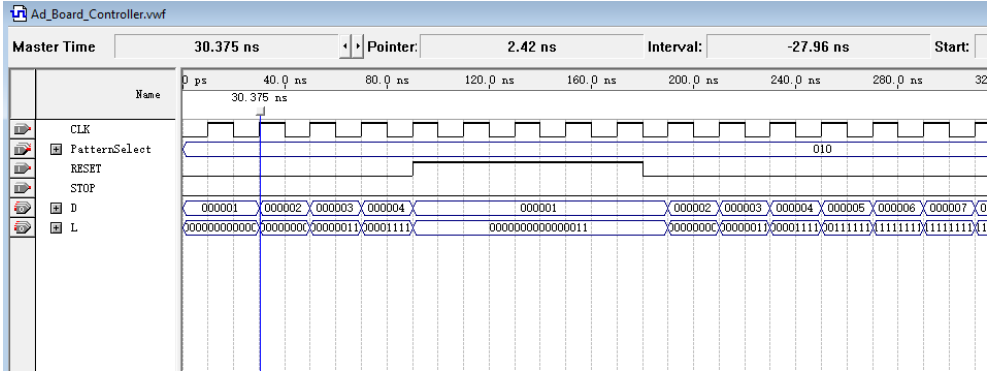


图 4.4.1. Pattern_2 在第 5 帧 RESET 置高电平

从图 4.4.1 可以看出, 当 Pattern_2 在第五帧 RESET 置高电平后, 输出维持在第一帧; 当 RESET 拨回低电平, 输出从第一帧开始。

4.5 实机演示

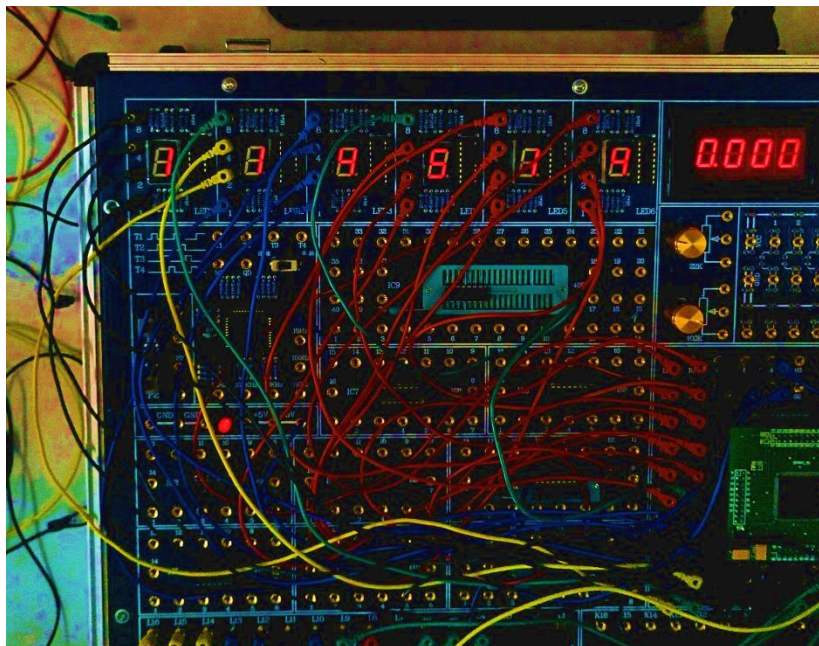


图 4.5.1. 实验箱上的对 Pattern_0 的演示

图 4.5.1. 展示了试验箱上对 Pattern_0 的演示，可以发现当 STOP 和 RESET 都为低电平，数码管如期交替显示 114514 和 A55. 但是我们没有预料到这个数码管是 8421 数码管，无法显示 ABCEDF! 导致在试验箱上当显示内容为字母是，数码管没有显示内容.

5 优化方案

5.1 利用三态门代替 LATCH (74LS373)

在设计电路时，我们希望避免总线写入冲突，因此使用了 LATCH. 但是在搜索资料时，发现网上的很多帖子说应该尽量避免使用 LATCH, 因为它会使时序电路分析变得非常困难. 当我们在进行波形模拟时，也发现 LATCH 会使输出信号产生很多“毛刺”.

当项目验收完后，我们继续研究了相关知识，发现避免总线写入冲突不一定要使用 LATCH. 本质上说，我们只要在每个输出引脚后添加一个三态门就能解决问题.

5.2 利用存储芯片替代 Frame 元件

拿到报告的题目时，我们第一个想到的就是对时间帧和模式选择进行编址，然后传入一个存储芯片；根据地址输出. 我们要求的输出位数是 40 位；因此如果存储芯片的位数不够，可以进行位扩展.

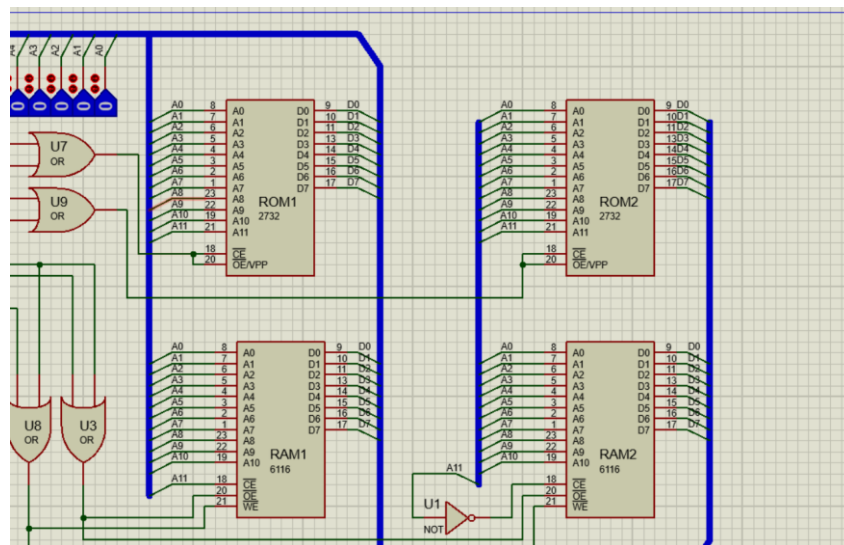


图 5.2.1. Proteus 软件中对存储器进行字位扩栈

图 5.2.1 展示了在 Proteus 中对存储器进行字位扩展. 这是我上学期计算机组成原理做的项目. 我们知道, 时间信号有 4 位, 模式选择信号有 3 位, 因此我们只要编一个 7 位的地址传入存储器即可.

但是, Quartus 软件中使用存储器实在太麻烦了, 我了解到通信的同学的硬件课都使用 Proteus. 实际使用经验告诉我 Proteus 比 Quartus 好操作太多了. 希望学校可以更新系统, 今后直接使用 Proteus 上硬件课.

6 项目小结

本次实践项目, 我们根据项目内容, 利用已有的芯片, 如: 74LS138、74LS161、74LS373、D 触发器等等, 以及根据实现和分析电路而设计出的自制元件, 如上文介绍. 我们在软件 QuartusII 中利用上述芯片和元件, 合理分析与设计数字电路, 设计了八种不同方式的广告灯展示方式. 该项目包含八种广告灯的展示方式, 以及暂停模式、重置模式两种功能. 我们利用《数字逻辑》课程上所学的知识, 成功并完美的对理论知识进行了实践, 深刻感受到了学习硬件课程的意义, 为我们今后的计算机课程学习打下了坚实的基础.